



مقایسه روش‌های شبکه عصبی بیزین، شبکه عصبی مصنوعی و برنامه‌ریزی بیان ژن در تحلیل کیفیت آب رودخانه‌ها (مطالعه موردی: رودخانه بالخوچای)

محمدعلی قربانی^۱ و رضا دهقانی^۲

۱- دانشیار، دانشگاه تبریز، (نویسنده مسؤول: ghorbani@tabrizu.ac.ir)

۲- دانش‌آموخته کارشناسی ارشد، دانشگاه تبریز

تاریخ دریافت: ۹۳/۰۵/۲۷

تاریخ پذیرش: ۹۴/۰۲/۲۷

چکیده

میزان کل مواد جامد محلول (TDS) عامل مهمی در مهندسی رودخانه و بهویژه مطالعه کیفیت آب رودخانه‌ها می‌باشد. در این تحقیق جهت تحلیل میزان مواد جامد محلول در آب رودخانه بالخوچای واقع در استان اردبیل از متغیرهای کیفیت شامل بیکربنات، کلرید، سولفات، کلسیم، منیزیم، سدیم و دبی جریان در مقیاس زمانی ماهانه طی دوره آماری (۱۳۵۵-۱۳۸۸) بعنوان وروودی مدل شبکه عصبی بیزین استفاده گردید و نتایج آن با مدل‌های شبکه عصبی مصنوعی و برنامه‌ریزی بیان ژن، مقایسه شد. معیارهای ضریب همبستگی، ریشه دوم میانگین مربعات خطأ و ضریب نش ساتکلیف برای ارزیابی و نیز مقایسه عملکرد مدل‌ها مورد استفاده قرار گرفت. نتایج حاصله نشان داد که هرچند سه مدل مورده بررسی با دقت قابل قبول توانسته‌اند به تخمین میزان مواد جامد محلول در آب پیربدازند، لیکن مدل شبکه عصبی بیزین با بیشترین ضریب همبستگی (۰/۹۶۶)، کمترین ریشه دوم یا جذر میانگین مربعات خطأ (۰/۹۸۰) در مرحله صحت سنجی در اولویت قرار گرفت. در مجموع نتایج بیان گر برتری مدل شبکه عصبی بیزین در تخمین مقادیر کمینه و بیشینه مواد جامد محلول در آب می‌باشد.

واژه‌های کلیدی: اردبیل، تخمین، کل مواد جامد محلول، مدل

مقدمه

توسعه روزافزون فعالیت‌های کشاورزی و صنعتی و افزایش حجم فاصلاب‌های شهری موجب آلودگی رودخانه‌ها شده است، به نحوی که کیفیت این منابع حیاتی آب را مورد مخاطره جدی قرار داده است. همچنان مصرفی رویه مواد شیمیایی در کشاورزی، باعث افزایش شدت آلودگی منابع آب شهرها و روستاها که به اندازه کافی آلوده شده‌اند، می‌شود. کل مواد جامد محلول^۱ یا TDS در آب برابر مجموع غلظت همه یون‌های موجود در آب می‌باشد. تخمین و ارزیابی کیفیت آب و TDS به منظور حفاظت منابع آب، بررسی و جلوگیری از آلودگی آن‌ها بسیار حائز اهمیت می‌باشد^(۵). با شناخت کافی از متغیرهای کیفی می‌توان از یک مدل مناسب بهره‌گیری کرد و به شیوه‌سازی کیفی و اقدامات مدیریتی پرداخت. اگرچه مدل‌ها دارای محدودیت‌های خاصی می‌باشند ولی نقش مهمی در کنترل، پیش‌بینی و مدیریت منابع آب دارند. شناخت کامل پدیده‌های کیفی آب و آشنای با نقاط ضعف و قوت مدل‌ها و مقایسه کارایی آن‌ها لازمه استفاده از این مدل‌ها می‌باشد. بنابراین می‌توان با به کارگیری مدلی مناسب و شناخت کافی از متغیرهای کیفیت آب، مؤثرترین آن‌ها از جمله TDS را مدل‌سازی نمود و مبنای اقدامات مدیریتی قرار داد. از آنجایی که کیفیت آب رودخانه‌ها از مشخصه‌های مختلفی که رفتار پیچیده و غیرخطی دارند تأثیر می‌پذیرند مدل‌های ریاضی ممکن است عملکرد خوبی نداشته باشند^(۴). امروزه سیستم‌های هوشمند به طور گسترده برای پیش‌بینی پدیده‌های غیرخطی مورد استفاده قرار می‌گیرد، که روش شبکه عصبی بیزین (BNN)^(۲)، برنامه‌ریزی بیان ژن (GEP)^(۳)

و شبکه‌های عصبی مصنوعی (ANN)^(۴) از جمله‌ای این روش‌ها بشمار می‌روند. شبکه‌های عصبی بیزین یکی از مدل‌های مبتنی بر شبکه‌های عصبی در مدل کردن مسائل مسائلی غیرخطی و پیچیده از طریق الگوریتم‌های خاص و روش‌های آماری است. با استفاده از این روش می‌توان به مدل کردن روابط علت و معلولی یک فرایند، آنالیز و وضعیت موجود و تخمین وضعیت آینده یک سیستم پرداخت^(۱۸). برنامه‌ریزی ژن یک تکنیک برنامه‌ریزی خودکار است که راه حل مسئله را با استفاده از برنامه‌ریزی کامپیوتر ارائه کرده و عضوی از خانواده الگوریتم تکاملی می‌باشد^(۱۲). شبکه‌های عصبی مصنوعی نیز با الهام از سیستم پردازش اطلاعات مغز طراحی شده و توانایی آن در تقریب الگوهای یک مساله سبب افزایش دامنه کاربرد این شبکه‌ها شده است^(۱). در سال‌های اخیر استفاده از روش‌های هوشمند در مطالعات کیفیت و کمی رودخانه‌ها مورد توجه محققین قرار گرفته است، که از جمله می‌توان به موارد ذیل اشاره نمود: در پژوهشی جهت شبیه‌سازی کیفیت آب رودخانه کرخه با استفاده از شبکه‌های عصبی مصنوعی، متغیرهای روز سال، دبی، اشل سطح آب و دمای آب به عنوان ورودی مدل در تخمین پارامترهای هدایت‌الکتریکی، نسبت جذب سدیم و کل املاح محلول مورد بررسی قرار گرفت که نتایج گویای توانایی بالای شبکه عصبی مصنوعی بود^(۲۱). در پژوهشی دیگر از برنامه‌ریزی بیان ژن به منظور تغییرات داده‌های کیفیت آب زیرزمینی در دشت بدخوردار اصفهان استفاده شد که نتایج همبستگی قابل قبول نوسانات سطح آب زیرزمینی با کل املاح محلول را نشان داد^(۱۲). تحلیل ارتباط متغیرهای کیفیت با دبی رودخانه نشان داده که مدل

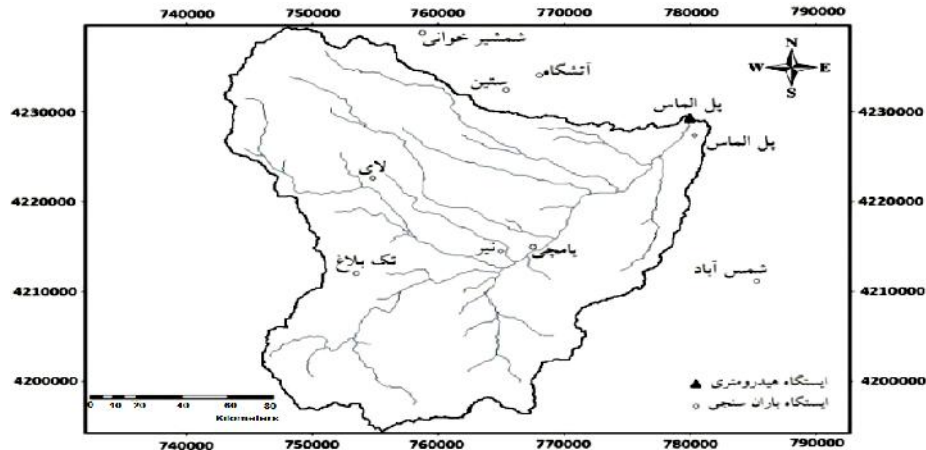
عصبی مصنوعی بر اساس متغیرهای همچون بی کربنات، کلرید، سولفات، کلسیم، منزیم، سدیم و دبی جریان در مقیاس زمانی ماهانه می‌باشد.

مواد و روش‌ها

منطقه مورد مطالعه و داده‌ها

بالخلوچای یکی از مهمترین و پرآب‌ترین رودخانه‌های منطقه مشکین شهر، دشت معان و اردبیل است که به رود مرزی ارس می‌ریزد. رودخانه بالخلوچای از به هم پیوستن دو رودخانه‌های شمال غربی کوهستان تالش و دامنه‌های شمال شرقی کوههای بزرگوش به وجود می‌آید. طول این رودخانه ۱۰۸ کیلومتر است. که این رودخانه از شمال تا شمال شرقی مشکین شهر امتداد دارد و در طول جغرافیایی $30^{\circ} 47'$ و عرض جغرافیایی $45^{\circ} 37'$ واقع گردیده است. در شکل ۱ موقعیت جغرافیایی منطقه مورد مطالعه نشان داده شده است. در این تحقیق داده‌های متغیرهای کمی و کیفیت در مقیاس زمانی ماهانه شامل بی کربنات (HCO_3^-), کلرید (Cl^-), سولفات (SO_4^{2-}), کلسیم (Ca^{2+}), منزیم (Mg^{2+}), سدیم (Na^+) و غلظت کل املال محلول در آب (TDS)، همگی بر حسب میلی گرم بر لیتر (mg/lit) و دبی جریان (Q) بر حسب تصادفی بودن داده‌ها قبل از تحلیل و مدل‌سازی انجام گرفت.

برنامه‌ریزی بیار، ژن با عملگرهای اصلی ریاضی عملکرد قابل قبول دارد^(۳). از سوی دیگر مدل شبکه عصبی را جهت تخمين میزان غلظت اکسیژن محلول و اکسیژن خواهی بیوشیمیابی بر اساس ۱۱ پارامتر کیفیت ماهانه آب در ایستگاه‌های مختلف هند بررسی شد که نتایج تطبیق خوب مدل شبکه عصبی مصنوعی با مقادیر اندازه‌گیری شده و مورد انتظار برای غلظت‌های رودخانه را نشان داد^(۱۸). در پژوهشی دیگر با استفاده از شبکه‌های عصبی به تخمين مواد جامد محلول، هدایت الکتریکی و کدورت رودخانه جوهر در مالزی پرداختند و نشان دادند که مدل‌های شبکه عصبی توانایی بالایی برای تخمين متغیرهای کیفیت دارد^(۱۷). همچنین شبکه عصبی پرسپترون چندلایه برای تخمين شاخص کیفیت آب در رودخانه کیتنا واقع در مالزی استفاده کردند. نتایج نشان داد که مدل شبکه عصبی می‌تواند جایگزین مناسبی برای محاسبات طولانی شاخص کیفیت آب باشد^(۹). درمجموع با توجه به پژوهش‌های انجام شده و ذکر این نکته که رودخانه بالخلوچای یکی از مهمترین رودخانه‌های استان اردبیل و مهم‌ترین منبع تأمین کننده آب بخش‌های مختلف نواحی مجاور خود می‌باشد، اهمیت مدل‌سازی کیفیت آب این رودخانه و اقدامات مدیریتی جهت بهبود کیفیت آب آن بیش از پیش ضروری است. لذا هدف از این تحقیق تخمين کل مواد جامد محلول این رودخانه با استفاده از مدل شبکه‌های عصبی بیزین، برنامه‌ریزی بیان ژن و شبکه‌های



شکل ۱- منطقه مورد مطالعه
Figure 1. Study area

یا آینده یک سیستم دست یابد. همچنین یک روش سازگار و انعطاف‌پذیر برای مدل کردن موقعیت‌های غیرقطیعی و یک مدل گرافیکی مبتنی بر ادراک مستقیم از اندرکنش میان علل و معلول‌های مختلف ارائه می‌نماید. همچنین یک روش سیار مفید در مدل کردن موقعیت‌های نامطمئن و غیرقطیعی بر اساس روابط علت و معلولی است. در شبکه‌های عصبی یکی از روش‌های دست‌بایی مؤثر به پارامترهای بهینه، استفاده از تنظیم بیزین است که به طور اتوماتیک مقادیری

شبکه‌های عصبی بیزین^۱

این روش یکی از روش‌های سیستم پشتیبان تصمیم‌گیری می‌باشد که ابزار قدرتمندی در مدل کردن روابط علی و معلولی در قالب شبکه‌ای از احتمالات است. نکته بسیار مهم در مورد روش شبکه عصبی بیزین این است که این روش به اطلاعات دقیق و تاریخچه کامل یک واقعیت نیاز ندارد بلکه می‌تواند با استفاده از اطلاعات ناقص و غیردقیق نیز به نتایج بسیار قانع‌کننده‌ای در زمینه تخمين وضعیت فعلی

$$P(w | D, \alpha, \beta, M) = \frac{\exp(-F(w))}{Z_F(\alpha, \beta)} \quad (b-4)$$

اگر معادله های $a-4$ و $b-4$ باهم در فرمول ۳ جایگذاری شوند آنگاه خواهیم داشت.

$$P(D | \alpha, \beta, M) = \frac{Z_F(\alpha, \beta)}{Z_w(\alpha) Z_D(\beta)} \quad (5)$$

$$Z_F(\alpha, \beta) =$$

$$(2\pi)^{\frac{N}{2}} \det^{-\frac{1}{2}}(H) \exp(-F(w^{MP}))$$

که $Z_D(\beta) = (\frac{n}{\beta})^{\frac{N}{2}}$ و $Z_w(\alpha) = (\frac{n}{\alpha})^{\frac{N}{2}}$ و $H = \beta \nabla^2 E_D + \alpha \nabla^2 E_w$ ماتریس Hessian تابع F می باشد. در معادله ۵ روش های لگاریتم و مشتق گیری به ترتیب بکار گرفته شده است با فرض اینکه معادله تفاضلی تابع برابر صفر قرار گیرد

مقدار $P(\alpha, \beta | D, M)$ به بیشینه شده و احتمال اولیه وزن ها مینیمم می شود. سپس α و β بصورت زیر بیان می شوند (۱۶).

$$\alpha^{MP} = \frac{\gamma}{2E_w w^{MP}} \quad (6)$$

$$\beta^{MP} = \frac{n-\gamma}{2E_D w^{MP}} \quad (7)$$

$$\gamma = N - \alpha^{MP} \text{trace}^{-1} H^{MP}$$

که در آن n تعداد نمونه، N مقدار کل متغیرهای شبکه، γ تعداد متغیرهای مؤثر که نسبتاً اثر بیشتری در کاهش میزان خطای توابع دارند. در ابتدا α و β بر طبق الگوریتم لونبرگ مارکوارت فرض می شود و تابع هدف $F(w)$ با آموزش شبکه منظم بیزین به کمترین مقدار خود می رسد. α و β بر طبق معادلات ۷ و ۸ بروزرسانی شده و سپس مقادیر بهینه توزیع اولیه بدست می آید و حداقل مقدار جدید $F(w)$ محاسبه می گردد و در نهایت آموزش شبکه آنقدر تکرار می شود تا به همگرای برسد (۸). نمونه ای از ساختار شبکه سه لایه ای متشکل از یک لایه ورودی، یک لایه مخفی و یک لایه خروجی در شکل ۲ نشان داده شده است.

مناسب برای پارامترهای تابع قرار می دهد. روش تنظیم بیزین می تواند جهت بهبود توانایی شبکه عصبی و آموزش تابع هدف F که بصورت زیر نشان داده شده است استفاده شود (۱۶).

$$F = \alpha E_w + \beta E_D \quad (1)$$

که در آن E_w مجموع مربعات وزن های شبکه E_D مجموع مربعات باقی مانده بین پاسخ شبکه و تابع هدف می باشد. α و β نیز متغیرهای تابع هدف می باشد (متغیرهای تنظیم). که هر یک از این پارامترها به آموزش شبکه در کاهش باقی مانده خروجی ها یا حجم شبکه بستگی دارد. نکته اساسی روش تنظیم این است که متغیرهای تابع هدف را چگونه از طریق داده های اماراتی بیزین انتخاب و بهینه نماید. بطوریکه اگر α و β بعنوان متغیرهای تصادفی در نظر گرفته شوند قانون بیزین بصورت فرمول زیر تعریف می شود (۱۶).

$$P(\alpha, \beta | D, M) = \frac{P(D | \alpha, \beta, M) P(\alpha, \beta | M)}{P(D | M)} \quad (2)$$

در فرمول بالا D داده های آموزش، M مدل شبکه و w وزن شبکه می باشد. بر طبق قانون بیزین اگر α و β از توزیع یکنواخت پیروی نمایند در این صورت احتمال زمانی $P(D | \alpha, \beta, M)$ ماقریم می شود که احتمال توزیع اولیه α و β در معادله ۲ حداقل به مقدار ماقریم خواهد رسید. با فرض اینکه باقی مانده ها و وزن های متغیرهای تصادفی باشند و بر اساس قانون بیزین معادله ۳ بصورت زیر می باشد.

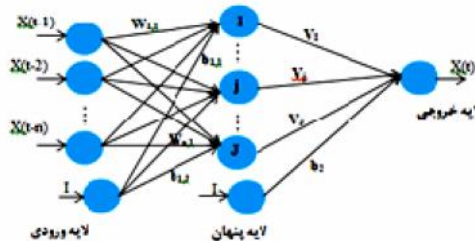
$$P(w | D, \alpha, \beta, M) = \frac{P(D | w, \alpha, \beta, M) P(w | \alpha, \beta, M)}{P(D | \alpha, \beta, M)} \quad (3)$$

در صورتیکه فرض شود باقی مانده ها و وزن ها از توزیع گوسین پیروی کرده داریم:

$$P(D | w, \alpha, \beta, M) = \frac{\exp(-\beta E_D)}{Z_D(\beta)} \quad (4)$$

$$P(w | \alpha, \beta, M) = \frac{\exp(-\alpha E_w)}{Z_w(\alpha)} \quad (a-4)$$

برای اطمینان از اینکه $P(D | \alpha, \beta, M)$ به عنوان فاکتور تنظیم در معادله ۳ گردد معادله ۴ بصورت زیر می باشد.



شکل ۲- نمایی کلی یک شبکه عصبی بیزین سه لایه
Figure 2. A three-layer Bayesian neural network overview

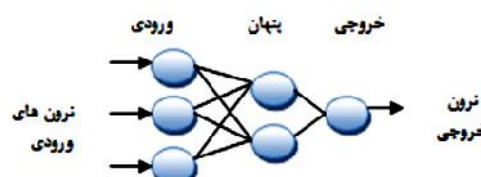
لایه ورودی را پردازش کرده و در اختیار لایه خروجی قرار می‌دهند. با توجه به ساختار شبکه عصبی مصنوعی، ویژگی‌های عمدۀ آن سرعت بالای پردازش، توانایی یادگیری الگو، توانایی تعمیم الگو پس از یادگیری، انعطاف‌پذیری در برابر خطاهای ناخواسته و عدم ایجاد اختلال قبل توجه در صورت بروز اشکال در بخشی از اتصال‌ها به دلیل توزیع وزن‌های شبکه است. نخستین کاربرد عملی شبکه‌های عصبی مصنوعی با معرفی شبکه‌های پرسپترون چندلایه^۲ انجام گرفت. برای آموزش این شبکه عموماً از الگوریتم پس انتشار (BP)^۳ استفاده می‌شود که اساس این الگوریتم بر پایه قانون یادگیری اصلاح خطأ می‌باشد که از دو مسیر اصلی رفت‌وبرگشت تشکیل می‌شود. تنظیم پارامترها در شبکه پرسپترون چندلایه توسط سیگنال خطأ و سیگنال ورودی صورت می‌گیرد. تعیین تعداد لایه‌ها و نرون‌های موجود در آنها از مهمترین مسائل در شبیه‌سازی با شبکه عصبی مصنوعی است. رایج‌ترین توابع محرك استفاده شده در شبکه‌های انتشار برگشتی را توابع محرك سیگموئید و تانژانت هیپربولیک ذکر کردند (۲۰). در طی آموزش شبکه MLP به کمک الگوریتم یادگیری BP، ابتدا محاسبات از ورودی به سوی خروجی شبکه انجام می‌شود، سپس مقادیر خطای محاسبه شده به لایه‌های قبل انتشار می‌یابد. در ابتدا محاسبه خروجی به صورت لایه به لایه انجام می‌شود و خروجی هر لایه، ورودی لایه بعدی خواهد بود که مراحل آموزش به کمک این الگوریتم عبارتند از: (الف) اختصاص ماتریس وزن به هریک از اتصالات، (ب) انتخاب بردار ورودی و خروجی متناسب با آن، (پ) محاسبه خروجی نرون در هر لایه و درنتیجه محاسبه خروجی نرون‌ها در لایه خروجی، (ت) بهینگان سازی وزن‌ها به روش انتشار خطای شبکه به لایه‌های قبل که خطای یادشده ناشی از اختلاف بین خروجی واقعی و خروجی محاسبه شده است، (ث) ارزیابی عملکرد شبکه آموزش دیده به کمک برخی شاخص‌های تعریف شده مانند جذر میانگین مربعات خطأ (MSE)، سرانجام برگشت به مرحله (پ) یا پایان آموزش (۳۳،۲) نمونه‌ای از ساختار شبکه سه لایه‌ای مشکل از یک لایه ورودی، یک لایه مخفی، و یک لایه خروجی در شکل ۳ نشان داده شده است.

برنامه‌ریزی بیان ژن^۱

روش برنامه‌ریزی بیان ژن، در سال ۱۹۹۹ توسط فریرا ارائه شد. این روش ترکیبی از روش‌های برنامه‌ریزی ژنتیک (GP) و الگوریتم ژنتیک بوده (GA) که در آن، کروموزوم‌های خطی و ساده با طول ثابت، مشابه با آنچه که در الگوریتم ژنتیک استفاده می‌شود و ساختارهای شاخه‌ای با اندازه‌ها و اشکال متفاوت، مشابه با درختان تجزیه در برنامه‌ریزی ژنتیک، ترکیب می‌شوند. از آنجایی که در این روش تمام ساختارهای شاخه‌ای با اندازه اشکال متفاوت، در کروموزوم‌های خطی با طول ثابت کدگذاری می‌شوند، معادل این است که در این روش فنوتیپ و ژنوتیپ از هم جدا می‌شوند و سیستم می‌تواند از تمام مزایای تکاملی به سبب وجود آنها بهره‌مند شود. اکنون باوجود اینکه فنوتیپ در GEP، همان نوع از ساختارهای شاخه‌ای مورد استفاده در GP را شامل می‌شود، اما ساختارهای شاخه‌ای که به‌وسیله GEP استنتاج می‌شوند (که بیان درختی نیز نامیده می‌شود) می‌توان ژنوم‌های مستقل هستند. به طور خلاصه می‌توان گفت در GEP به‌سازی‌ها در یک ساختار خطی اتفاق افتاده و سپس به صورت ساختار درختی بیان می‌شود و این موجب می‌شود تنها ژنوم اصلاح شده به نسل بعد منتقل شده و نیازی به ساختارهای سنگین برای تکثیر و جهش وجود نداشته باشد (۶). در این روش پدیده‌های مختلف با استفاده از مجموعه‌ای از توابع و مجموعه‌ای از ترمینال‌ها، مدل‌سازی می‌شوند. مجموعه توابع، معمولاً شامل توابع اصلی حسابی $\{ /, \times, +, -, \exp, \log, \sin, \cos, \dots \}$ یا هر نوع تابع ریاضی دیگر می‌باشد. معتقد است، می‌توانند برای تفسیر مدل مناسب باشند. مجموعه ترمینال‌ها، از مقدار ثابت و متغیرهای مستقل مسأله تشکیل شده‌اند (۶). برای به کارگیری روش برنامه‌ریزی بیان ژن از نرم‌افزار GenXproTools ۴.0 استفاده گردید (۱۰).

شبکه عصبی مصنوعی^۱

شبکه‌های عصبی مصنوعی با الهام از سیستم پردازش اطلاعات مغز طراحی و به عرصه ظهور رسیده‌اند که به کمک فرآیند یادگیری و با استفاده از پردازشگرهایی به نام نرون تلاش می‌کند با شناخت روابط ذاتی بین داده‌ها، نکاشتی میان فضای ورودی (لایه ورودی) و فضای مطلوب (لایه خروجی) ارائه دهد. لایه یا لایه‌های مخفی، اطلاعات دریافت شده از



شکل ۳- نمای کلی یک شبکه عصبی مصنوعی سه لایه
Figure 3. A three-layer artificial neural network overview

خطأ RMSE^۵ و ضریب نشسان‌کلیف (NS)^۶ طبق روابط زیر صورت گرفت. بهترین مقدار برای این سه معیار به ترتیب یک، صفر و یک می‌باشد.

معیارهای ارزیابی در این تحقیق ارزیابی دقت و قابلیت روش‌ها با استفاده از نمایه‌های ضریب همسنگی (CC)^۷، ریشه میانگین مربعات

$$CC = \frac{\sum_{i=1}^N (x_i - \bar{x})(y_i - \bar{y})}{\sqrt{\sum_{i=1}^N (x_i - \bar{x})^2 \sum_{i=1}^N (y_i - \bar{y})^2}} \quad -1 \leq R \leq 1 \quad (9)$$

(10)

$$RMSE = \sqrt{\frac{1}{N} \sum_{i=1}^N (x_i - y_i)^2} \quad NS = 1 - \frac{\sum_{i=1}^N (x_i - y_i)^2}{\sum_{i=1}^N (x_i - \bar{y})^2} \quad -\infty \leq NS \leq 1 \quad (11)$$

ماهانه استفاده گردید. متغیرهای بی کربنات (HCO_3^-), کلرید (Cl⁻), سولفات (SO₄²⁻), کلسیم (Ca²⁺), سدیم (Na⁺) و دبی جریان (Q) بعنوان ورودی و میزان مواد جامد محلول در آب (TDS) بعنوان پارامتر خروجی مدل‌ها بکار برده شد. در ادامه نتایج مدل‌های مورداستفاده ارائه می‌گردد. در این پژوهش ۸۰ درصد از داده‌ها (۱۱۰۸ رکورد)، بهمنظور آموزش و ۲۰ درصد مابقی (۲۹۷ رکورد)، برای صحت سنجی انتخاب گردید. با توجه به نمونه‌برداری در زمان‌های مختلف، داده‌های مورد استفاده ماهیتاً دارای رفتار تصادفی بوده و انتخاب بازه زمانی خاص خوب‌بود در همه‌زمان‌ها در فرایند آموزش و صحت سنجی لحاظ گردیده است. در جدول (۱) خصوصیات آماری متغیرهای کمی و کیفیت رودخانه بالخواچای در بازه زمانی مذکور نشان داده شده است. جدول (۲) نیز ماتریس همبستگی بین کل املاح محلول در آب و متغیرهای ورودی را نشان می‌دهد بر اساس جدول مذکور، بی کربنات و دبی جریان به ترتیب بیشترین و کمترین همبستگی را با مواد جامد محلول در آب دارند همچنین نتایج معنی‌دار بودن متغیرهای مؤثر بر مواد جامد محلول در آب در سطح احتمال ۵ و ۱۰ درصد نشان داد، همبستگی تمام پارامترها با TDS، در هردو سطح احتمال، معنی‌دار است.

در روابط بالا، x_i و y_i به ترتیب مقادیر مشاهداتی و محاسباتی در گام زمانی N ، تعداد گام‌های زمانی، \bar{x} و \bar{y} نیز به ترتیب میانگین مقادیر مشاهداتی و محاسباتی می‌باشد. علاوه بر معیارهای فوق از نمودارهای پراکنش و سری زمانی مقادیر مشاهداتی- محاسباتی نسبت به زمان نیز جهت مقایسه و تحلیل بیشتر نتایج استفاده شده است. یک نکته مهم در آموزش شبکه‌های عصبی نرمال‌سازی داده‌ها قبل از استفاده در مدل می‌باشد این عمل خصوصاً وقتی دامنه تغییرات ورودی‌ها زیاد باشد کمک شایانی به آموزش بهتر و سریعتر مدل می‌کند. اصولاً وارد کردن داده‌ها بصورت خام باعث کاهش سرعت و دقت شبکه می‌شود (۲۲). برای نرمال‌سازی داده‌های تحقیق از رابطه (۱۲) استفاده شده است: X_{min} و X_{max} مقدار نormal شده ورودی x_i به ترتیب حدکثر و حداقل داده‌ها می‌باشد.

$$X_n = 0.1 + 0.8 \frac{X_i - X_{min}}{X_{max} - X_{min}} \quad (12)$$

نتایج و بحث

در این تحقیق بهمنظور بررسی و مقایسه نتایج مدل‌ها از داده‌های ماهانه ایستگاه رودخانه بالخواچای در اردبیل در طول دوره آماری از سال ۱۳۵۵ تا ۱۳۸۸ در مقیاس زمانی

جدول ۱- مشخصات آماری متغیرهای کیفیت رودخانه بالخواچای

مرحله	پارامتر	واحد	تعداد رکور	میانگین	مینیمم	ماکزیمم	انحراف معیار	ضریب تغییرات	چوکنگی
آموزش	HC ₃ O ⁻	mg/lit	۱۱۰۸	۲/۹۱	۰/۲۰	۷/۲۰	۱/۳۹	۰/۴۷	۰/۳۹
	Cl ⁻	mg/lit	۱۱۰۸	۰/۴۰	۰/۰۵	۴/۴۰	۰/۲۹	۰/۷۳	۵/۷۳
	SO ₄ ²⁻	mg/lit	۱۱۰۸	۰/۳۱	۰/۰۱	۴/۴۲	۰/۳۳	۱/۰۵	۳/۴۶
	Ca	mg/lit	۱۱۰۸	۱/۹۷	۰/۱۰	۵/۲۰	۰/۸۷	۰/۴۴	۰/۵۱
	Mg	mg/lit	۱۱۰۸	۰/۹۵	۰/۰۳	۳/۷۰	۰/۵۹	۰/۸۲	۰/۹۵
	Na	mg/lit	۱۱۰۸	۰/۷۱	۰/۰۳	۶/۰۰	۰/۵۷	۰/۸۰	۲/۹۳
	Q	lit/s	۱۱۰۸	۱/۶۱	۰/۰۶	۴۰/۶۶	۳/۴۶	۲/۱۴	۴/۵۶
	TDS	mg/lit	۱۱۰۸	۲۳۳/۳۷	۰/۰۵	۶۶۵/۰۰	۱۰۲/۵۵	۰/۴۳	۰/۵۵
	HCO ₃ ⁻	mg/lit	۲۷۹	۱/۳۴	۰/۴۰	۴/۴۰	۰/۴۶	۰/۳۴	۱/۴۴
	Cl	mg/lit	۲۷۹	۰/۲۰	۰/۰۵	۰/۸۰	۰/۱۰	۰/۵۰	۱/۹۱
صحبت	SO ₄ ²⁻	mg/lit	۲۷۹	۰/۲۱	۰/۰۱	۱/۲۰	۰/۱۷	۱/۰۲	۲/۵۲
	Ca	mg/lit	۲۷۹	۰/۹۹	۰/۱۰	۰/۱۰	۰/۱۰	۰/۷۳	۱/۸۶
	Mg	mg/lit	۲۷۹	۰/۲۴	۰/۰۴	۱/۲۰	۰/۲۳	۰/۵۲	۰/۷۵
	Na	mg/lit	۲۷۹	۰/۳۱	۰/۰۲	۱/۶۰	۰/۱۷	۰/۵۳	۲/۷۴
	Q	lit/s	۲۷۹	۱/۴۱	۰/۱۰	۲۱۵/۰۰	۱۲/۸۹	۹/۰۸	۱۶/۵۳
	TDS	mg/lit	۲۷۹	۱۱۴/۳۹	۵۱/۰۰	۳۴۳/۲۰	۳۳/۱۴	۰/۲۸	۱/۶۴
	HC ₃ O ⁻	mg/lit	۲۷۹						

جدول ۲- ماتریس همبستگی متغیرهای کیفیت رودخانه بالخواچای

Table 2. Correlation matrix of qualitative variables for Belkhviachay river

TDS	Q	Hco3	Cl	So4	Ca	mg	na	
۰/۴۸۰	۰/۰۰۹	۰/۳۷۰	۰/۳۴۱	۰/۱۹۵	۰/۱۹۲	۰/۱۴۲	۱/۰۰۰	Na
۰/۵۷۵	۰/۰۲۲	۰/۵۵۶	۰/۱۰۵	۰/۱۱۴	۰/۲۷۸	۱/۰۰۰	۰/۱۴۲	Mg
۰/۷۳۶	۰/۰۳۵	۰/۷۹۰	۰/۱۷۶	۰/۰۵۶	۱/۰۰۰	۰/۲۷۸	۰/۱۹۲	Ca
۰/۱۲۲	۰/۰۰۲	۰/۰۳۲	۰/۰۰۶	۱/۰۰۰	۰/۰۵۶	۰/۱۱۴	۰/۱۹۵	So4
۰/۲۹۰	۰/۰۰۹	۰/۱۶۱	۱/۰۰۰	۰/۰۰۶	۰/۱۷۶	۰/۱۵۵	۰/۳۴۱	Cl
۰/۹۰۵	۰/۰۳۸	۱/۰۰۰	۰/۱۶۱	۰/۰۳۲	۰/۷۹۰	۰/۰۵۶	۰/۳۷۰	Hco3
۰/۰۳۲	۱/۰۰۰	۰/۰۳۸	۰/۰۰۹	۰/۰۰۲	۰/۰۳۵	۰/۰۲۲	۰/۰۰۹	Q
۱/۰۰۰	۰/۰۳۲	۰/۹۰۵	۰/۳۹۰	۰/۱۴۲	۰/۷۶۶	۰/۵۷۵	۰/۴۸۰	TDS

توجه: ارقام پررنگ نشان دهنده معنی‌داری در سطح ۱۰ درصد یا کمتر است.

با ۳ نمون در لایه پنهان اول با بیشترین ضریب همبستگی $CC=0/۹۶۶$ و کمترین ریشه میانگین مربعات خطای $RMSE=0/۰۹۴\text{mg/lit}$ و $NS=0/۹۹۸$ در مرحله صحت سنجی به عنوان بهترین مدل در فرآیند شیوه‌سازی انتخاب شد. همانطور که در جدول ۴ مشاهده می‌شود شبکه عصبی بیزین بخوبی تعمیم داده شده است که توانسته داده‌های بخش صحت سنجی را بخوبی داده‌های بخش آموزش اجرا نماید (۱۶). همان‌طور که در شکل (۴-ب) مشخص است تطابق مقادیر محاسباتی مواد جامد محلول مربوط به مرحله صحت سنجی مدل شبکه عصبی بیزین با مقادیر مشاهداتی وجود دارد. همچنین با توجه به نمودار (۴-الف) قابلیت بالای این مدل در تخمین اکثر مقادیر مشهود است.

نتایج شبکه عصبی بیزین
بنظرور تخمین میزان مواد جامد محلول در آب از مدل شبکه عصبی بیزین از نوع شبکه پرسپترون چندلایه با تعداد نمونه‌های متفاوت استفاده شد. در این شبکه متغیرهای تابع هدف (متغیرهای تنظیم) با استفاده از تقریب گوس نیوتن محاسبه و نتایج آن در جدول ۳ ارایه شد با توجه به جدول ۳ خطای شبکه کاهش یافته و به متغیرهای ورودی به شبکه وزن مناسب اختصاص یافت با بهینه نمودن متغیرهای تابع هدف و تأثیر آن در تابع هدف از بیش برآزشی آموزش شبکه جلوگیری شد (۱۶). روند کار آموزش شبکه با تعداد نمونه‌های کم آغاز و افزودن نمونه‌های اضافی تا زمانی ادامه می‌یابد که افزایش نمونه‌های بیشتر تأثیری در بهبود خطا نداشته باشد، در این روش با توجه به جدول ۴ مدل شماره ۲ بصورت شبکه‌ای

جدول ۳- مقادیر متغیرهای مورداستفاده در شبکه عصبی بیزین

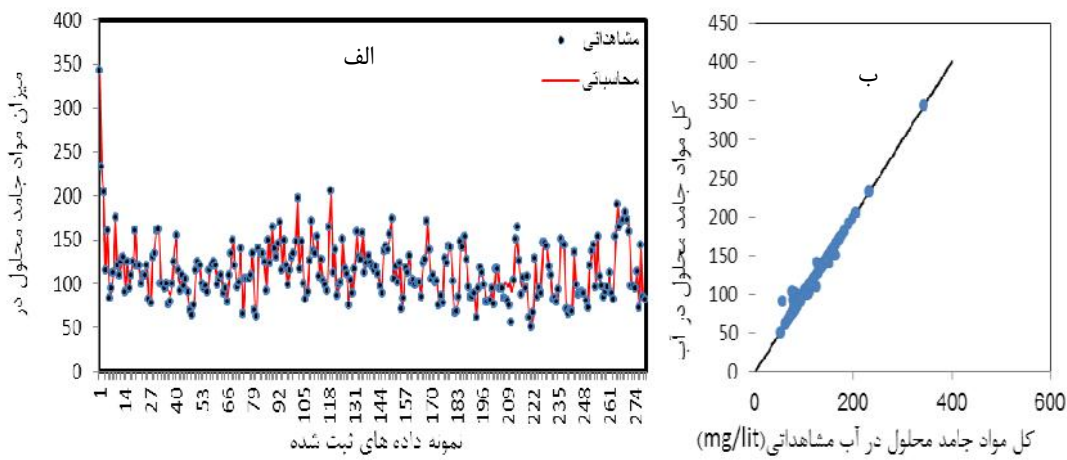
Table 3. The values of variables used in Bayesian neural network

Epoch	Gradient	α	β	E_w	E_d	پارامتر
۱۰۰	10^{-10}	۰/۹۹۹۹	$1/79 \times 10^{-9}$	۱۶/۴۶۱	۰/۰۰۰۲	

جدول ۴- نتایج حاصل از مدل شبکه‌های عصبی بیزین در مراحل آموزش و صحت سنجی

Table 4. The results of Bayesian neural network training and validation

CC	صحت سنجی		آموزش		تابع محرك		لایه پنهان	ساختار	شماره
	RMSE (mg/lit)	NS	CC	RMSE (mg/lit)	NS	لایه خروجی			
۰/۹۶۴	۰/۰۷	۰/۹۹۲	۰/۹۷۶	۰/۰۳۲	۰/۹۷۵	خطی	تازه‌انت هیبریولیک	۷-۲-۱	۱
۰/۹۶۶	۰/۰۹۴	۰/۹۹۸	۰/۹۷۷	۰/۰۲۶	۰/۹۷۶	خطی	تازه‌انت هیبریولیک	۷-۳-۱	۲
۰/۹۶۵	۰/۰۷	۰/۹۹۴	۰/۹۷۵	۰/۰۳۴	۰/۹۷۴	خطی	تازه‌انت هیبریولیک	۷-۴-۱	۳
۰/۹۶۵	۰/۰۹۸	۰/۹۸۹	۰/۹۷۶	۰/۰۲۷	۰/۹۷۰	خطی	تازه‌انت هیبریولیک	۷-۵-۱	۴
۰/۹۶۴	۰/۰۹۶	۰/۹۹۱	۰/۹۷۴	۰/۰۲۹	۰/۹۶۴	خطی	تازه‌انت هیبریولیک	۷-۶-۱	۵
۰/۹۶۵	۰/۰۹۸	۰/۹۹۳	۰/۹۷۵	۰/۰۳۳	۰/۹۶۶	خطی	تازه‌انت هیبریولیک	۷-۷-۱	۶
۰/۹۶۵	۰/۰۹۵	۰/۹۹۵	۰/۹۷۲	۰/۰۳۲	۰/۹۷۴	خطی	تازه‌انت هیبریولیک	۷-۸-۱	۷
۰/۹۶۳	۰/۰۹۶	۰/۹۹۵	۰/۹۷۴	۰/۰۲۸	۰/۹۶۸	خطی	تازه‌انت هیبریولیک	۷-۹-۱	۸
۰/۹۶۴	۰/۰۹۷	۰/۹۹۴	۰/۹۷۵	۰/۰۲۹	۰/۹۷۵	خطی	تازه‌انت هیبریولیک	۷-۱۱-۱	۹
۰/۹۶۵	۰/۰۹۶	۰/۹۸۹	۰/۹۷۰	۰/۰۳۰	۰/۹۶۶	خطی	تازه‌انت هیبریولیک	۷-۱۳-۱	۱۰
۰/۹۶۵	۰/۰۹۷	۰/۹۹۴	۰/۹۷۶	۰/۰۳۱	۰/۹۷۱	خطی	تازه‌انت هیبریولیک	۷-۱۴-۱	۱۱



شکل ۴- نمودار حاصل از مقادیر بهینه مدل شبکه عصبی بیزین برای داده‌های ثبت شده مرحله صحت سنجی

(الف) مقادیر محاسباتی و مشاهداتی نسبت به زمان (ب) نمودار پراکنش میان مقادیر مشاهداتی و محاسباتی

Figure 4. Diagram of optimal values of Bayesian neural network model for recorded data in validation phase
A) the observed and computed values over time B) scattered plot of observed and computed values

مطالعات (۱۵،۱۱) صورت گرفته است. روابط نهایی حاصل از سه جمجمه از عملگرهای ریاضی تعریف شده برای حوضه بالخلوچای در جدول ۵ میزان تأثیر هریک از متغیرهای ورودی را روی میزان کل مواد جامد محلول نشان می‌دهد، با توجه به این روابط سدیم، کلرید و بی کربنات بیشترین تأثیر در تخمین کل مواد جامد محلول را داشته‌اند و دی‌بی جریان با توجه به وزن تأثیر ناچیز در روابط عملگر F3 حذف گردیده است، این امر در میزان همبستگی ضعیف بین Q و TDS کاملاً مشهود است.

$$F1: \{+, -, *, /, \}$$
 (۱۳)

$$(۱۴)$$

$$F2: \{+, -, *, /, \sqrt{}, \text{Exp}, \text{Ln}^2, \text{Sin}, \text{Cos}, \text{Atan}\}$$

$$(۱۵)$$

$$F3: \{+, -, *, /, \sqrt{}, \text{Exp}, \text{Ln}^2\}$$

نتایج برنامه‌ریزی بیان ژن

استفاده از برنامه‌ریزی بیان ژن به دلیل توان انتخاب متغیرهای مؤثر در مدل و حذف متغیرهایی با تأثیر کمتر و همچنین توانائی ارائه رابطه صریح جهت تخمین کل مواد جامد محلول رودخانه بالخلوچای مدنظر قرار گرفت. لذا هر هفت ورودی برای تعیین متغیرهای معنی‌دار استفاده و جهت بررسی بیشتر علاوه بر مجموعه چهار عملگر اصلی (F1)، (F2)، (F3) و مجموعه عملگر لحاظ گردیده است. همچنین در این پژوهش جهت ساخت درخت تجزیه و تولید یک جمعیت اولیه از راه حل‌هایی استفاده شد که این راه حل‌ها از ترکیب تصادفی مجموعه توابع (عملگرهای ریاضی مورد استفاده در فرمول‌ها) و ترمینال‌ها (متغیرهای مسئله و اعداد ثابت) ایجاد می‌شوند نحوه و دلیل انتخاب این نوع عملگرها با توجه به

جدول ۵- معادلات برنامه‌ریزی بیان ژن برای چهار مجموعه عملگر ریاضی منتخب

Table 5. Equations for four sets of mathematical operators of gene expression programming

عملگر	معادلات برنامه‌ریزی بیان ژن
F ₁	TDS=60.51(SO ₄ +HCO ₃)+Na(5.04Mg-Na)-(Ca+HCO ₃)-8.69+Cl ² (Q+Cl)
F ₂	TDS=(Na+Cl)/Na+61.5SO ₄ +Q ³ +(71.31+Cl)HCO ₃ +(Cl+7.46) ^{0.5} (Q+Cl)Cl ²
F ₃	TDS=(HCO ₃)/Ca(4.93Cl+24.3)SO ₄ +(4.71 Ca Cl Mg)-Ca-Na+(HCO ₃ +Ca)45.56+2Cl

عملگرها از دقت بیشتری برخوردار بوده است. بنابراین برنامه‌ریزی بیان ژن با عملگر F1 شامل چهار عملگر اصلی ریاضی، با وجود رابطه ساده ریاضی بیشترین دقت را در تخمین کل مواد جامد محلول در رودخانه بالخلوچای داشته است. که با نتایج (۱۲،۳) همخوانی دارد. نمودارهای پراکنش

نتایج حاصل از مدل برنامه‌ریزی بیان ژن با هر سه عملگر در جدول ۶ بیانگر این است که عملگر F1 در هردو مرحله آموزش و صحت سنجی با بیشترین ضریب همبستگی CC=۰/۹۵۰ و ریشه میانگین مربعات خطای RMSE=۰/۷۶۷ و NS=۰/۱۷۱mg/lit نسبت به سایر

بر نابرابری مقادیر مشاهداتی و محاسباتی بر اساس خط $y=x$ دارد. همچنین لازم به ذکر است با توجه به شکل ۵-الف) این مدل در تخمین برخی مقادیر حداقل و حداکثر مواد جامد محلول در آبغصیف عمل کرده، به طوریکه این مقادیر به ترتیب بیشتر و کمتر از مقدار واقعی آن‌ها (مشاهداتی) تخمین زده است.

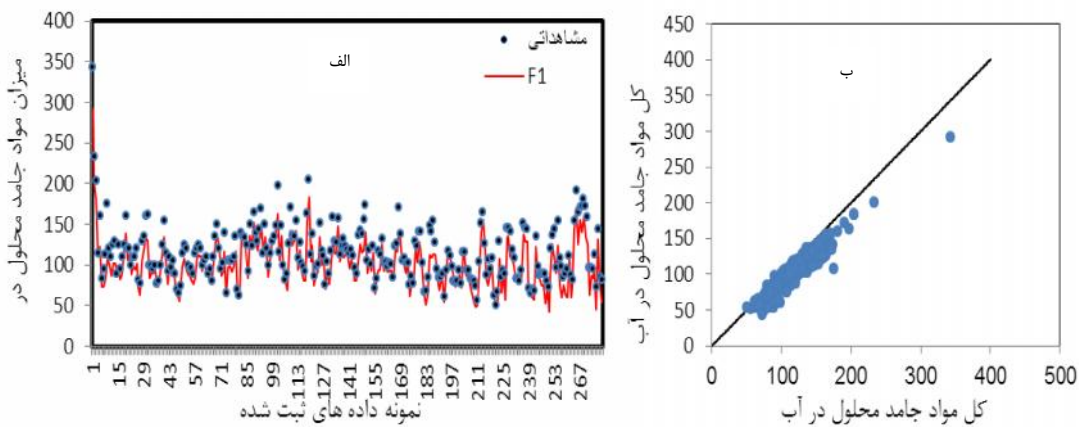
برنامه‌ریزی بیان زن مربوط به مرحله صحبت سنجی در شکل ۵-ب) نشان‌دهنده خط برازش مقادیر محاسباتی با چهار مجموعه عملگر ریاضی با بهترین خط برازش $y=x$ است. همان‌طور که از این شکل مشخص است مقادیر تخمینی و مشاهداتی به‌غیراز چند نقطه که روی خط نیمساز واقع شده سایر نقاط پایین‌تر از خط برازش قرار دارند که این امر دلالت

جدول ۶- نتایج حاصل از مدل برنامه‌ریزی بیان زن در مراحل آموزش و صحبت سنجی

Table 6. The results of gene expression programming training and validation

CC	RMSE (mg/lit)	صحبت سنجی	CC	آموزش (mg/lit)	NS	عملگر
+/۹۵۰	+/۱۷۱	+/۷۶۷	+/۹۷۵	+/۶۵۳	+/۷۳۴	F ₁
-/۹۴۶	-/۲۲۵	-/۸۷۰	-/۹۷۴	-/۳۰۳	-/۸۲۹	F ₂
-/۹۴۱	-/۲۲۱	-/۸۶۵	-/۹۶۰	-/۰۹۸	-/۸۰۳	F ₃

توجه: ارقام پررنگ نشان‌دهنده معنی‌داری در سطح ۱۰ درصد یا کمتر است.



شکل ۵- نمودار حاصل از مقادیر بهینه مدل برنامه‌ریزی بیان زن برای داده‌های ثبت‌شده مرحله صحبت سنجی
الف) مقادیر محاسباتی و مشاهداتی نسبت به زمان ب) نمودار پراکنش میان مقادیر مشاهداتی و محاسباتی

Figure 5. Diagram of optimal values of gene expression programming model for recorded data in validation phase
A) the observed and computed values over time B) scattered plot of observed and computed values

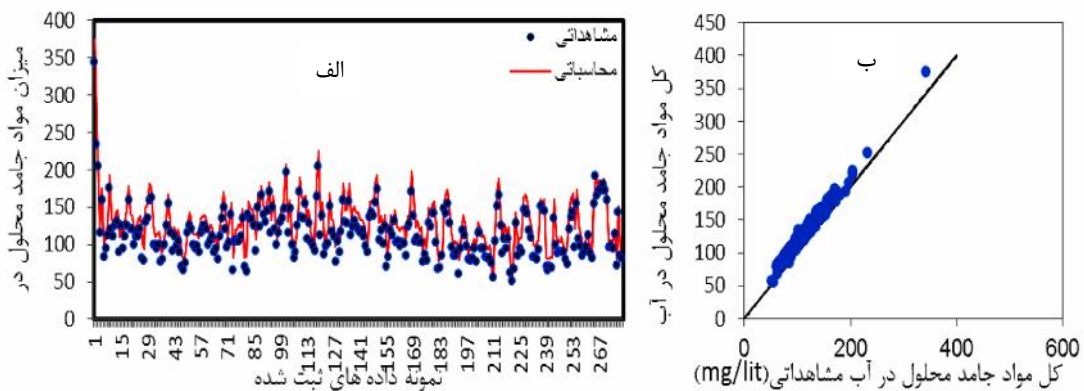
ساختار شماره ۱ با بیشترین ضریب همبستگی $CC=+0.921$ و $=RMSE+0.352\text{mg/lit}$ کمترین ریشه میانگین مربعات خطای $CC=-0.840$ و $NS=-0.840$ در مرحله صحبت سنجی نسبت به سایر ساختارها جمی مدل سازی میزان مواد جامد محلول در آب مناسب‌تر خواهد بود. که این نتایج با پژوهش‌های (۲۱، ۱۷) همخوانی دارد. در شکل ۶-ب) مشخص است مقادیر تخمینی و مشاهداتی به‌غیراز چند نقطه روی خط نیمساز پراکنده شده و این امر دلالت بر برابری مقادیر مشاهداتی و محاسباتی بر اساس خط $y=x$ می‌باشد. در نمودار (۶-الف) نیز تغییرات مقادیر محاسباتی و مشاهداتی نسبت به زمان نشان داده شده است. این شکل نشان می‌دهد که شبکه عصبی مصنوعی در تخمین برخی مقادیر حداقل، حداکثر و میانی عملکرد خوبی نداشته، به‌طوری که این مقادیر را بیشتریا کمتر از مقدار واقعی‌شان تخمین زده است.

نتایج شبکه عصبی مصنوعی

به‌منظور مدل‌سازی میزان مواد جامد محلول در آب در رودخانه بالاخوچای از مدل شبکه عصبی مصنوعی از نوع شبکه پرسپترون چندلایه با لایه پنهان با تعداد نرون‌های متفاوت استفاده شده است.تابع تانزانت هیپرboleیک متداول‌ترین شکل از توابع محرك است، که در این تحقیق از آن برای ساخت لایه خروجی شبکه‌های عصبی مصنوعی استفاده گردید. آموزش شبکه‌های پرسپترون چندلایه با استفاده از الگوریتم آموزش پس انتشار خطای بنام الگوریتم لونبرگ-مارکوارت به دلیل همگرایی سریع‌تر در آموزش شبکه، استفاده شد. همچنین از ترکیبات مختلف توابع محرك در لایه (های) مخفی استفاده گردید. در این پژوهش شبکه‌ای با ۲ نرون در لایه پنهان اول به عنوان بهترین شبکه در فرآیند مدل‌سازی حاصل شد. در جدول ۷ نتایج حاصل از مقایسه عملکرد ساختارهای مختلف به کاررفته به همراه متغیرهای آماری داده‌های بخش آموزش و صحبت سنجی ارائه شده است. همان‌طور که در جدول ۷ مشاهده می‌شود

جدول ۷- نتایج حاصل از مدل شبکه‌های عصبی مصنوعی در مراحل آموزش و صحبت سنجی
Table 7. The results of artificial neural network training and validation

شماره	ساختار	لایه پنهان	لایه خروجی	تابع محرك	آموزش	صحبت سنجی	CC	RMSE (mg/lit)	NS	CC	RMSE (mg/lit)	NS
۱	۷-۲-۱	نائزانت هیبریولیک	خطی	۰/۸۱۴	۰/۲۴۲	۰/۸۵۱	۰/۳۵۲	۰/۸۴۰	۰/۸۵۱	۰/۸۹۱	۰/۹۶۱	۰/۸۹۱
۲	۷-۳-۱	نائزانت هیبریولیک	خطی	۰/۸۰۸	۰/۸۲۰	۰/۸۲۶	۰/۷۶۳	۰/۷۶۳	۰/۸۲۶	۰/۹۰۱	۰/۴۷۲	۰/۹۰۱
۳	۷-۴-۱	نائزانت هیبریولیک	خطی	۰/۷۸۲	۰/۶۶۲	۰/۸۳۴	۰/۷۴۷	۰/۷۴۷	۰/۸۳۴	۰/۸۴۸	۰/۴۶۶	۰/۸۴۸
۴	۷-۵-۱	نائزانت هیبریولیک	خطی	۰/۶۳۲	۰/۳۰۹	۰/۸۴۸	۰/۸۲۷	۰/۸۲۷	۰/۸۴۸	۰/۸۹۱	۰/۶۶۶	۰/۸۹۱
۵	۷-۶-۱	نائزانت هیبریولیک	خطی	۰/۷۴۶	۰/۴۲۶	۰/۸۳۷	۰/۷۹۸	۰/۷۹۸	۰/۸۳۷	۰/۸۹۴	۰/۷۸۹	۰/۸۹۴
۶	۷-۸-۱	نائزانت هیبریولیک	خطی	۰/۷۳۶	۰/۳۲۸	۰/۸۲۹	۰/۸۱۲	۰/۸۱۲	۰/۸۲۹	۰/۸۱۶	۰/۴۳۸	۰/۸۱۶
۷	۷-۱۰-۱	نائزانت هیبریولیک	خطی	۰/۷۵۴	۰/۲۸۱	۰/۸۴۱	۰/۷۸۴	۰/۷۸۴	۰/۸۴۱	۰/۸۸۱	۰/۷۱۶	۰/۸۸۱
۸	۷-۱۱-۱	نائزانت هیبریولیک	خطی	۰/۷۹۴	۰/۲۶۸	۰/۸۳۵	۰/۸۲۶	۰/۸۲۶	۰/۸۳۵	۰/۸۹۰	۰/۵۲۳	۰/۸۹۰
۹	۷-۱۲-۱	نائزانت هیبریولیک	خطی	۰/۷۸۶	۰/۲۵۳	۰/۸۳۷	۰/۷۹۳	۰/۷۹۳	۰/۸۳۷	۰/۸۸۲	۰/۹۳۷	۰/۸۸۲
۱۰	۷-۱۴-۱	نائزانت هیبریولیک	خطی	۰/۸۰۳	۰/۲۶۵	۰/۸۴۲	۰/۸۲۳	۰/۸۲۳	۰/۸۴۲	۰/۸۹۳	۰/۸۶۶	۰/۸۹۳
۱۱	۷-۱۶-۱	نائزانت هیبریولیک	خطی	۰/۷۹۹	۰/۳۵۱	۰/۸۳۶	۰/۸۲۸	۰/۸۲۸	۰/۸۳۶	۰/۸۱۶	۰/۴۳۸	۰/۸۱۶



شکل ۶- نمودار حاصل از مقادیر بهینه مدل شبکه عصبی مصنوعی برای داده‌های ثبت شده مرحله صحبت سنجی
(الف) مقادیر محاسباتی و مشاهداتی نسبت به زمان ب) نمودار پراکنش میان مقادیر مشاهداتی و محاسباتی

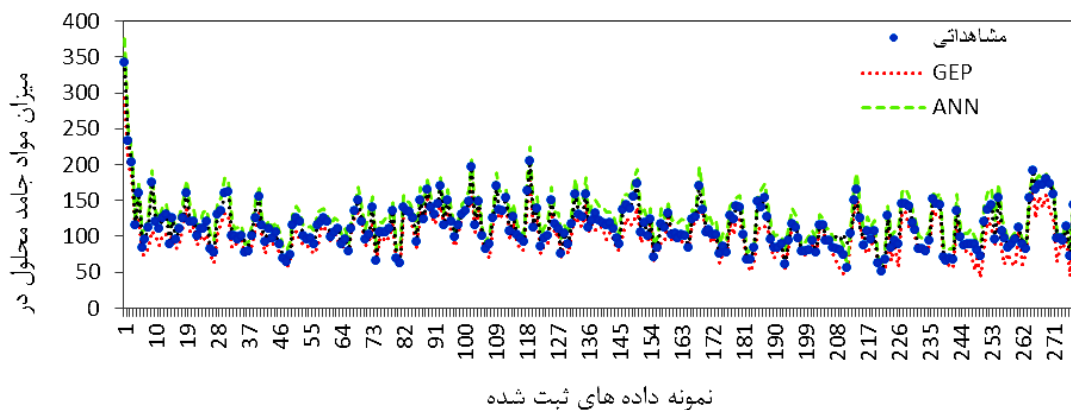
Figure 6. Diagram of optimal values of artificial neural network model for recorded data in validation phase
A) the observed and computed values over time B) scattered plot of observed and computed values

می‌باشد. مقایسه نتایج مدل شبکه عصبی بیزین با مدل برنامه‌ریزی بیان ژن حاکی از نزدیک بودن نتایج این دو مدل می‌باشد. در شکل ۷ نتایج هر سه مدل نسبت به مقادیر مشاهداتی در طی زمان نشان داده شده که ضعف دو مدل برنامه‌ریزی بیان ژن و شبکه عصبی مصنوعی در تخمین دقیق برخی مقادیر حداقل و حداکثر را نشان می‌دهد، در حالیکه مقادیر میانی در برنامه‌ریزی بیان ژن به خوبی پوشش داده شده است.

مقایسه عملکرد مدل‌ها در ادامه با انتخاب جواب بهینه هر کدام از مدل‌ها و مقایسه آن‌ها با یکدیگر مشخص شد، هر سه روش با دقت خوبی می‌توانند میزان مواد جامد محلول در آب رودخانه بالخلوچای را شبیه‌سازی کنند. همانطور که در جدول ۸ مشاهده می‌شود از بین مدل‌های به کاررفته مدل شبکه عصبی بیزین با بیشترین دقت $CC=0/966$ و کمترین ریشه میانگین مربعات خطأ $RMSE=0/94\text{mg/lit}$ و بیشترین ضریب نش-ساتکلیف $NS=0/998$ در مرحله صحبت سنجی دارد.

جدول ۸- نتایج حاصل از آموزش و صحبت سنجی مدل‌های شبکه عصبی بیزین، برنامه‌ریزی بیان ژن و شبکه عصبی مصنوعی
Table 8. The results of Bayesian neural network, gene expression programming and artificial neural network models training and validation

مدل	آموزش	صحبت سنجی	CC	RMSE (mg/lit)	NS	CC	RMSE (mg/lit)	NS
شبکه عصبی بیزین	۰/۹۷۶	۰/۹۷۶	۰/۹۷۷	۰/۰۲۶	۰/۹۹۸	۰/۹۶۶	۰/۰۹۴	۰/۹۹۸
برنامه‌ریزی بیان ژن	۰/۷۳۴	۰/۷۳۴	۰/۹۷۵	۰/۶۵۳	۰/۷۶۷	۰/۹۵۰	۰/۱۷۱	۰/۷۶۷
شبکه عصبی مصنوعی	۰/۸۱۴	۰/۸۱۴	۰/۸۵۱	۰/۲۴۲	۰/۸۴۰	۰/۹۲۱	۰/۳۵۲	۰/۸۴۰



شکل ۷- نمودار پراکنش و مشاهداتی - محاسباتی مقدار بهینه مدل شبکه عصبی بیزین، برنامه‌ریزی بیان ژن و شبکه عصبی مصنوعی برای داده‌های ثبت‌شده مرحله صحت سنجی

Figure 7. Diagram scatter plot and observations - computational Bayesian optimal neural network, gene expression programming and artificial neural network models for recorded data validation phase

تنظیم، سبب تسريع در روند همگرایی شبکه، بهینه نمودن وزن‌ها و کاهش خطای شبکه می‌شود. همچنین نتایج نشان داد به دلیل همبستگی پایین پارامتر دبی با مواد جامد محلول در آب تاثیر کمتری در تحلیل این پارامتر دارد که در مدل برنامه‌ریزی بیان ژن با ارائه روابط با توجه به عملگرهای انتخابی، وزن تاثیر هر یک از پارامترها در تخمین TDS را نیز نشان می‌دهد این امر مشهود است و این نتایج با پژوهش‌های (۱۲,۳) همخوانی دارد و میتوان بیان نمود معادله حاصل از برنامه‌ریزی بیان ژن، از ترکیب تصادفی مجموع ترمینال‌ها و توابع بدست می‌آید بنابراین اگر رابطه بین ورودی‌ها و خروجی‌ها خطی باشد ولی عملگرهای \sin و \cos و ... در مجموعه توابع انتخاب شود برنامه‌ریزی بیان ژن در استخراج رابطه از آن عملگرهای انتخابی استفاده می‌کند که این امر باعث کاهش دقت مدل می‌شود که در این پژوهش جهت افزایش دقت مدل عملگرهای \sin و \cos و ... کاربرد ندارد و نیز با توجه به دقت و سادگی، مدل حاصل از چهار عمل اصلی ریاضی جهت تخمین میزان مواد جامد محلول در آب پیشنهاد شد.

در این تحقیق سعی بر آن شد عملکرد مدل‌های جهت شبیه‌سازی میزان مواد جامد محلول در آب با استفاده از داده‌های ماهانه ایستگاه رودخانه بالخواچای در اردبیل مورد ارزیابی قرار گیرد. مدل‌های به کار گرفته شده شامل شبکه عصبی بیزین، برنامه‌ریزی بیان ژن و شبکه عصبی مصنوعی می‌باشد. مقدادیر مواد جامد محلول در آب مشاهداتی با مواد جامد محلول در آب تخمین زده شده در مدل‌های مذکور (شبکه عصبی بیزین، برنامه‌ریزی بیان ژن و شبکه عصبی مصنوعی)، با استفاده از معیارهای ارزیابی مورد مقایسه قرار گرفت. نتایج تحقیق را می‌توان بصورت زیر خلاصه نمود: با توجه به معیارهای ارزیابی نتیجه شد که هر سه روش موردنبررسی، می‌توانند با دقت نسبتاً بالایی میزان مواد جامد محلول در آب را پیش‌بینی نمایند. در این میان، شبکه عصبی بیزین دقت بالایی در تخمین مقدادیر کمینه و بیشینه دارد این نتایج با پژوهش‌های (۱۴,۷) مطابقت داشته است. در تبیین این نتایج می‌توان گفت در شبکه‌های عصبی بیزین با اختصاص وزن مناسب به هر یک از متغیرهای ورودی طبق قانون بیز، باعث کاهش میزان خطای شبکه می‌شود. همچنین استفاده از تقریب گوس نیوتون جهت محاسبه متغیرهای

منابع

1. Dastorani, M.T., Kh. AzimiFashi and A. Talebi. 2011. Estimation of Suspended Sediment Using Artificial Neural Network. *Watershed Management Research*, 6: 61-74 (In Persian).
2. Dayhoff, J.E. 1990. *Neural Network Principles*. 1st ed., New York: Prentice-Hall International, 621 pp.
3. Dehghani, R. and S. MahmoudiVanalia. 2013. Performance analysis of gene expression programs related to chemical parameters in river flow rate (Case Study: Siminehrood). First International Congress on Science Earth, pp: 111-120 (In Persian).
4. Dogan, E., A. Ates and E. Ceren. 2008. Application of artificial neural networks to estimate wastewater treatment plant inlet biochemical oxygen demand. *Environmental Progress & Sustainable Energy*, 27: 439-446.
5. Faryadi, S., K. Shahedi and M. Nabatpoor. 2013. Investigation of Water Quality Parameters in Tadjan River using Multivariate Statistical Techniques. *Watershed Management Research*, 6: 75-92 (In Persian).
6. Ferreira, C. 2001. Gene expression programming: a new adaptive algorithm for solving problems. *Complex Systems*, 13: 87-129.
7. Fitriyansari, K., N. Brodjol, U. Sutikno and H. Kuswanto. 2013. Prediction of Hourly Rainfall using Bayesian Neural Network with Adjusting Procedure. The Third Basic Science International Conference, pp: 1-5.
8. Foresee, F.D. 1997. Gauss-newton approximation to Bayesian regularization International Joint Conference on Neural Network, Houston, pp: 1930-1935.
9. Gazzaz, N.M., M.K. Yusoff, A. ZaharinAris, H. Juahir and M.F. Ramli. 2012. Artificial neural network modeling of the water quality index for Kinta River (Malaysia) using water quality variables as predictors. *Journal of Marine Pollution Bulletin*, 64: 2409-2420.
10. Ghorbani, M.A., V.P. Singh, M. Kashani and A. Kashani. 2012. Modelling pan evaporation using genetic programming. *Journal of Statistics: Advances in Theory and Application*, 8: 15-36.
11. Ghorbani, M.A., R. Khatibi, H. Asadi and P. Yousefi. 2012. Inter- Comparison of an Evolutionary Programming Model of Suspended Sediment Time-series whit other Local Model. INTECH.doi.org/10.5772/47801, 255-282.
12. Ghorbani, M.A. and A. Salehi. 2012. Use of the Gene Expression Planning in the study changes in groundwater quality whit fluctuations of the water level on the plains Barkhar in Esfahan. The Sixth National Congress on Civil Engineering Semnan, Iran, pp: 131-141 (In Persian).
13. Khanna, T. 1990. Foundation of neural networks: Addison-Wesley Series in New Horizons in Technology 1st ed. New York: Addison-Wesley, 521 pp.
14. Khan, M.S. and P. Coulibaly .2006. Bayesian neural network for rainfall-runoff modeling, *Water Resources Research*, 42(0): 56-67.
15. Khatibi, R., L. Naghipour, M.A. Ghorbani and M.T. Aalami. 2012. Predictability of relative humidity by two artificial intelligence techniques using noisy data from two Californian gauging stations. *Neural computing and application*, 23: 2241-2252.
16. MacKay, D.J.C. 1992. Bayesian Interpolation. *Neural Computation*, 4: 415-447.
17. Najah, A., A. Elshafie, O. Karim and O. Jaffar. 2009. Prediction of Johor river water quality parameters using artificial neural networks. *European Journal of scientific research*, 28: 422-435.
18. Singh, K.P., A. Basant, A. Malik and G. Jain. 2009. Artificial neural network modeling of the river water quality-A Case Study. *Journal of Ecological Modeling*, 220: 888-895.
19. Tabatabai, S.A. and P. Dashtizadeh. 2008. Introduction to bayesian neural networks and use to the maintenance of bridges. 14th Student Conference of Civil Engineering. University of Semnan, pp: 85-93 (In Persian).
20. Tokar, A.S. and P.A. Johnson. 1999. Rainfall-Runoff modeling using artificial neural networks. *Journal of Hydrology Engineering*, 4: 232-239.
21. Yarmohamadi, A., M. Chitsazan, K. Rangzan and J. Mozafari Zadeh. 2006. The use of artificial neural networks in modeling water quality Karkhe. First Conference on Environmental Engineering, pp: 107-115 (In Persian).
22. Zhu, Y.M., X.X. Lu and Y. Zhou. 2007. Suspended sediment flux modeling with artificial neural network: An example of the Longchuanjiang River in the Upper Yangtze Catchment. *Geomorphology*, 84: 111-125.

**Comparison of Bayesianneural Network, Artificial Neural Network
Gene Expression Programming in River Water Quality
(Case Study: Belkhviachay river)**

Mohammad Ali Ghorbani¹ and Reza Dehghani²

1- Associate Professor, University of Tabriz (Corresponding author: ghorbani@tabrizu.ac.ir)

2- Graduate M.Sc. Student, University of Tabriz

Received: December 26, 2014 Accepted: May 17, 2015

Abstract

The amount of total dissolved solids (TDS) is an important factor in stream engineering, especially study of river water quality. This study estimates the TDS amount of Belkhviachayriver in Ardabil Province, using bayesian neural network-, gene smart and artificial neural network. Quality variables include hydrogen carbonate, chloride, sulfate, calcium, magnesium, sodium and inflow (Q) in monthly time scale during the period (1976-2009) as input and TDS were chosen as output parameters. The criteria of correlation coefficient, root mean square error and of Nash Sutcliff coefficientwere used to evaluate and performance compare ofmodels. The results showed that however the models could be used to estimate with reasonable accuracy the amount of dissolved solids in water deal, but regarding to accuracy, bayesian neural network model with the highest correlation (0.966), minimum root mean square error (0.094ppm) and the Nash Sutcliff (0.998) were put in the verification phase. The results showed that the bayesian neural network model to estimate high minimum and maximum values of dissolved solids in water.

Keywords: Ardebil, Model, Prediction, Total Dissolved Solids